

Starkniederschlagshöhen und -spenden gemäß KOSTRA-DWD-2020

Rasterfeld 222147

(Zeile 222, Spalte 147)

Regenspende und Bemessungsniederschlagswerte in Abhängigkeit von Wiederkehrzeit T und Dauerstufe D

| Dauerstufe D | | Wiederkehrzeit T | | | | | | | | | | | | | | | | | |
|--------------|-----|------------------|------------|-------|------------|-------|------------|-------|------------|-------|------------|-------|------------|-------|------------|-------|------------|-------|------------|
| | | 1 a | | 2 a | | 3 a | | 5 a | | 10 a | | 20 a | | 30 a | | 50 a | | 100 a | |
| min | Std | mm | l / (s ha) | mm | l / (s ha) | mm | l / (s ha) | mm | l / (s ha) | mm | l / (s ha) | mm | l / (s ha) | mm | l / (s ha) | mm | l / (s ha) | mm | l / (s ha) |
| 5 | | 7,3 | 243,3 | 8,5 | 283,3 | 9,3 | 310,0 | 10,3 | 343,3 | 11,8 | 393,3 | 13,3 | 443,3 | 14,3 | 476,7 | 15,6 | 520,0 | 17,4 | 580,0 |
| 10 | | 9,6 | 160,0 | 11,2 | 186,7 | 12,2 | 203,3 | 13,5 | 225,0 | 15,4 | 256,7 | 17,4 | 290,0 | 18,7 | 311,7 | 20,4 | 340,0 | 22,8 | 380,0 |
| 15 | | 11,2 | 124,4 | 13,1 | 145,6 | 14,3 | 158,9 | 15,8 | 175,6 | 18,1 | 201,1 | 20,4 | 226,7 | 21,9 | 243,3 | 23,9 | 265,6 | 26,7 | 296,7 |
| 20 | | 12,5 | 104,2 | 14,6 | 121,7 | 16,0 | 133,3 | 17,7 | 147,5 | 20,2 | 168,3 | 22,8 | 190,0 | 24,5 | 204,2 | 26,7 | 222,5 | 29,9 | 249,2 |
| 30 | | 14,6 | 81,1 | 17,1 | 95,0 | 18,7 | 103,9 | 20,7 | 115,0 | 23,7 | 131,7 | 26,7 | 148,3 | 28,7 | 159,4 | 31,3 | 173,9 | 35,0 | 194,4 |
| 45 | | 17,1 | 63,3 | 20,1 | 74,4 | 21,9 | 81,1 | 24,2 | 89,6 | 27,7 | 102,6 | 31,2 | 115,6 | 33,5 | 124,1 | 36,6 | 135,6 | 40,9 | 151,5 |
| 60 | 1 | 19,1 | 53,1 | 22,4 | 62,2 | 24,4 | 67,8 | 27,1 | 75,3 | 30,9 | 85,8 | 34,9 | 96,9 | 37,5 | 104,2 | 40,9 | 113,6 | 45,7 | 126,9 |
| 90 | 1,5 | 22,4 | 41,5 | 26,2 | 48,5 | 28,6 | 53,0 | 31,7 | 58,7 | 36,2 | 67,0 | 40,8 | 75,6 | 43,9 | 81,3 | 47,8 | 88,5 | 53,5 | 99,1 |
| 120 | 2 | 25,0 | 34,7 | 29,3 | 40,7 | 32,0 | 44,4 | 35,4 | 49,2 | 40,5 | 56,3 | 45,6 | 63,3 | 49,0 | 68,1 | 53,5 | 74,3 | 59,8 | 83,1 |
| 180 | 3 | 29,3 | 27,1 | 34,3 | 31,8 | 37,4 | 34,6 | 41,5 | 38,4 | 47,3 | 43,8 | 53,4 | 49,4 | 57,3 | 53,1 | 62,5 | 57,9 | 70,0 | 64,8 |
| 240 | 4 | 32,7 | 22,7 | 38,3 | 26,6 | 41,8 | 29,0 | 46,4 | 32,2 | 52,9 | 36,7 | 59,7 | 41,5 | 64,1 | 44,5 | 69,9 | 48,5 | 78,2 | 54,3 |
| 360 | 6 | 38,3 | 17,7 | 44,8 | 20,7 | 48,9 | 22,6 | 54,2 | 25,1 | 61,9 | 28,7 | 69,8 | 32,3 | 75,0 | 34,7 | 81,8 | 37,9 | 91,5 | 42,4 |
| 540 | 9 | 44,8 | 13,8 | 52,5 | 16,2 | 57,2 | 17,7 | 63,4 | 19,6 | 72,4 | 22,3 | 81,7 | 25,2 | 87,7 | 27,1 | 95,7 | 29,5 | 107,0 | 33,0 |
| 720 | 12 | 50,1 | 11,6 | 58,6 | 13,6 | 63,9 | 14,8 | 70,9 | 16,4 | 80,9 | 18,7 | 91,3 | 21,1 | 98,1 | 22,7 | 106,9 | 24,7 | 119,7 | 27,7 |
| 1080 | 18 | 58,6 | 9,0 | 68,6 | 10,6 | 74,8 | 11,5 | 82,9 | 12,8 | 94,7 | 14,6 | 106,8 | 16,5 | 114,7 | 17,7 | 125,1 | 19,3 | 140,0 | 21,6 |
| 1440 | 24 | 65,5 | 7,6 | 76,7 | 8,9 | 83,6 | 9,7 | 92,7 | 10,7 | 105,8 | 12,2 | 119,4 | 13,8 | 128,2 | 14,8 | 139,8 | 16,2 | 156,5 | 18,1 |
| 2880 | 48 | 85,6 | 5,0 | 100,3 | 5,8 | 109,3 | 6,3 | 121,2 | 7,0 | 138,4 | 8,0 | 156,1 | 9,0 | 167,7 | 9,7 | 182,8 | 10,6 | 204,6 | 11,8 |
| 4320 | 72 | 100,2 | 3,9 | 117,3 | 4,5 | 127,9 | 4,9 | 141,8 | 5,5 | 161,9 | 6,2 | 182,6 | 7,0 | 196,1 | 7,6 | 213,9 | 8,3 | 239,3 | 9,2 |
| 5760 | 96 | 112,0 | 3,2 | 131,1 | 3,8 | 142,9 | 4,1 | 158,5 | 4,6 | 180,9 | 5,2 | 204,1 | 5,9 | 219,2 | 6,3 | 239,1 | 6,9 | 267,5 | 7,7 |
| 7200 | 120 | 122,0 | 2,8 | 142,9 | 3,3 | 155,8 | 3,6 | 172,8 | 4,0 | 197,3 | 4,6 | 222,5 | 5,2 | 239,0 | 5,5 | 260,6 | 6,0 | 291,6 | 6,8 |
| 8640 | 144 | 131,0 | 2,5 | 153,4 | 3,0 | 167,2 | 3,2 | 185,4 | 3,6 | 211,7 | 4,1 | 238,7 | 4,6 | 256,4 | 4,9 | 279,7 | 5,4 | 312,9 | 6,0 |
| 10080 | 168 | 139,0 | 2,3 | 162,8 | 2,7 | 177,5 | 2,9 | 196,8 | 3,3 | 224,7 | 3,7 | 253,4 | 4,2 | 272,2 | 4,5 | 296,8 | 4,9 | 332,2 | 5,5 |

Starkniederschlagshöhen und -spenden gemäß KOSTRA-DWD-2020

Rasterfeld 222147

(Zeile 222, Spalte 147)

Örtliche Unsicherheiten in Abhängigkeit von Wiederkehrzeit T und Dauerstufe D

| Dauerstufe D | | Wiederkehrzeit T | | | | | | | | |
|--------------|-----|------------------|-----|-----|-----|------|------|------|------|-------|
| | | 1 a | 2 a | 3 a | 5 a | 10 a | 20 a | 30 a | 50 a | 100 a |
| min | Std | ± % | ± % | ± % | ± % | ± % | ± % | ± % | ± % | ± % |
| 5 | | 31 | 31 | 32 | 32 | 32 | 33 | 33 | 33 | 34 |
| 10 | | 32 | 32 | 33 | 33 | 34 | 34 | 34 | 34 | 35 |
| 15 | | 31 | 32 | 32 | 33 | 33 | 34 | 34 | 34 | 34 |
| 20 | | 30 | 31 | 31 | 32 | 32 | 33 | 33 | 33 | 34 |
| 30 | | 29 | 29 | 30 | 30 | 31 | 31 | 31 | 32 | 32 |
| 45 | | 27 | 27 | 28 | 28 | 29 | 29 | 29 | 30 | 30 |
| 60 | 1 | 25 | 26 | 26 | 27 | 27 | 28 | 28 | 28 | 28 |
| 90 | 1,5 | 23 | 24 | 24 | 24 | 25 | 25 | 26 | 26 | 26 |
| 120 | 2 | 21 | 22 | 22 | 23 | 23 | 24 | 24 | 24 | 24 |
| 180 | 3 | 19 | 20 | 20 | 20 | 21 | 21 | 22 | 22 | 22 |
| 240 | 4 | 18 | 18 | 19 | 19 | 19 | 20 | 20 | 20 | 21 |
| 360 | 6 | 16 | 17 | 17 | 17 | 18 | 18 | 18 | 18 | 19 |
| 540 | 9 | 15 | 15 | 16 | 16 | 16 | 16 | 17 | 17 | 17 |
| 720 | 12 | 15 | 15 | 15 | 15 | 16 | 16 | 16 | 16 | 16 |
| 1080 | 18 | 15 | 15 | 15 | 15 | 15 | 15 | 16 | 16 | 16 |
| 1440 | 24 | 16 | 16 | 16 | 15 | 16 | 16 | 16 | 16 | 16 |
| 2880 | 48 | 19 | 18 | 18 | 18 | 18 | 18 | 18 | 18 | 18 |
| 4320 | 72 | 22 | 21 | 21 | 20 | 20 | 20 | 20 | 20 | 20 |
| 5760 | 96 | 24 | 23 | 23 | 22 | 22 | 22 | 21 | 21 | 21 |
| 7200 | 120 | 25 | 24 | 24 | 24 | 23 | 23 | 23 | 23 | 23 |
| 8640 | 144 | 27 | 26 | 25 | 25 | 25 | 24 | 24 | 24 | 24 |
| 10080 | 168 | 28 | 27 | 26 | 26 | 26 | 25 | 25 | 25 | 25 |

Parameter für abweichende T und D

Lokationsparameter ξ (Xi)

19,15895607

Skalenparameter α (Alpha)

4,55291129

Formparameter κ (Kappa)

-0,1

1. Koutsoyiannis-Parameter θ (Theta)

0,00043139

2. Koutsoyiannis-Parameter η (Eta)

0,61312292

Parameter für dauerstufenübergreifende Extremwertschätzung nach KOUTSOYIANNIS et al. 1998.

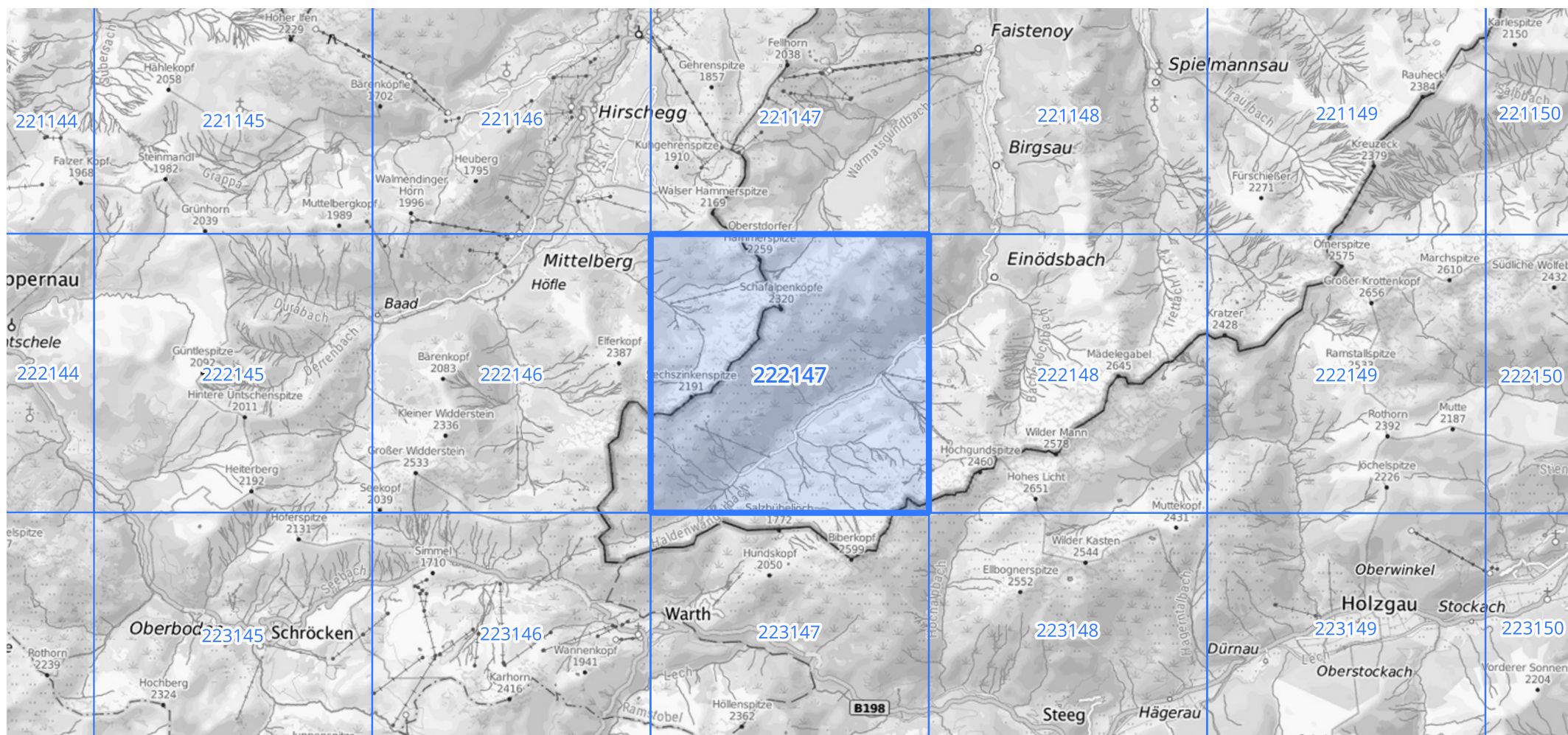
Siehe auch Anwendungshilfe zu KOSTRA-DWD-2020 des Deutschen Wetterdienstes.

Starkniederschlagshöhen und -spenden gemäß KOSTRA-DWD-2020

Rasterfeld 222147

(Zeile 222, Spalte 147)

Übersichtskarte des Rasterfeldes 222147, M 1 : 100 000



Quelle Rasterdaten: KOSTRA-DWD-2020 des Deutschen Wetterdienstes, Stand 12/2022.

Seite 3 von 3

Kartendarstellung: © Bundesamt für Kartographie und Geodäsie (2023), Datenquellen: https://sgx.geodatenzentrum.de/web_public/gdz/datenquellen/Datenquellen_TopPlusOpen.html

Für die Richtigkeit und Aktualität der Angaben wird keine Gewähr übernommen. Erstellt 01/2023.